

# IR Spectra에 의한 리그닌의 化學構造\*1 - 單, 三量體 리그닌化合物의 吸收帶歸屬 -

黃炳浩\*2

## Chemical Structures of Lignin by Infrared Spectroscopy \*1 - Assignment of Infrared Absorption Bands in Lignin Compounds -

Byung Ho Hwang \*2

### Summary

This research is performed to compare lignin compounds isolated in *Pinus koraiensis* Sieb et Zucco. with those compounds which have been already isolated, and to elucidate IR spectra of functional groups and aromatic nucleus for chemical structure of lignin.

In vanillin and dehydrodivanillin having carbonyl group in  $\alpha$ -position, characteristic absorption band of carbonyl group was confirmed in  $1665\text{ cm}^{-1}$ .

Absorption band of vanillic and syringic acid with carboxyl group were indicated in  $1675$  and  $1690\text{ cm}^{-1}$  respectively. Syringic acid showed low wave number because this was affected by methoxyl group.

Characteristic absorption bands of guaiacyl, syringyl and guaiacyl-syringyl co-polymer nucleus were clearly disclosed in diarylpropane compounds. It were reconfirmed that absorption band of guaiacyl showed longer wave number than of syringyl nucleus.

### 1. 緒 論

化石原料의 枯竭로 인하여 에너지 및 工業原料의 代替問題는 매우 심각하다.

에너지解決을 위해서는 太陽, 原子力, 水力, 風力, 地熱등의 開發이 활발하게 研究中에 있으나, 一般 有機化學工業原料의 代替問題로는 뚜렷한 解決方案이 없는 것 같으며, 그중 가장 有力한 것은 再生産可能한 森林資源의 利用이라 할 수 있는데, 이는 有機炭素源으로서 樹木이 가장 좋기 때문이다. 또한 樹木은 食糧問題解決을 위한 結晶 glucose 나 xylose 라든가, 酵母, alcohol 의 生産은 이미 많은 研究結果가 이루어져 있다. 이러한 시점에서 木材中에 20~30%를 차지하고 있는 lignin 은 芳香族, 炭化水素, 炭水化合物의 複合體로서 이의 基礎的研究的 利用에 관한 研究는 매우 바람직하다고 생각된다. 리그닌연구는 펄프, 製紙産業과 매우 密接한 關係를 갖고 있으며 그 廢液으로

부터 各種 wood chemicals의 回收利用은 環境汚染과 經濟的側面에서도 매우 가치 있는 일이다. 現在 全世界 pulp工場에서 排出되는 廢液中의 리그닌量은 약 5,300만톤에 이르고 있으며 이들은 상당량 回收되어 有機合成原料 및 기타 用途로서 널리 쓰이고 있다. 本 研究에서는 리그닌의 合理的 利用을 위하여 우선 그 基礎的인 化學構造研究를 하므로써 學問 및 利用面에 重要한 資料를 얻기 위하여 韓國固有樹種인 잣나무에서 單離한 lignin化合物과 또 다른 樹種에서 單離한 lignin化合物의 Infrared spectra를 測定하여 化學構造 解析을 위한 各官能基 및 芳香核別의 吸收spectra의 歸屬을 밝혀 比較研究로자 實施하였으며, 이 리그닌化合物의 歸屬은 Nelson 등의 論文<sup>1,2,3)</sup>과 Sa- rkanen 등의 書籍<sup>4-9)</sup>을 參考하여 解析하였다.

### 2. 材料 및 方法

\*1 Recived for publication on Jun. 5, 1983

本論文은 文敎部學術研究助成費에 의하여 研究된 것임.

\*2 江原大學校 林科大學 College of Forestry, Kangweon National University

2.1 試料의 調製

本 實驗에 使用한 供試木은 本 大學演習林 6林班의 人工造林林에서 選定代採하였으며 樹齡은 50年生이었다. 이 供試木을 心邊材로 區分하여 心材部分을 TAPPI Standard T 11m-59의 木材分析法에 準하여 톱방을 만들고 室內에서 氣乾한 후 cutting mill (Wiley mill)을 使用하여 60 mesh 이하로 粉碎하여 試料로 하였다.

2.2 加水分解

試料木粉(5kg)을 抽出裝置를 使用하여 95% ethanol로 常溫에서 24시간씩 새 溶媒를 갈아 넣어가면서 3회 반복하여 前抽出하였다. 이 抽出液을 除去하였고 木粉을 다시 風乾시킨 후 高壓 autoclave(2ℓ)를 使用하여 180℃내외에서 dioxane-water(1:1)로 60分間 加水分解시켰다. 이 分解物을 木粉과 分離한 후 ethanol과 acetone으로 洗滌하였다. 그 濾過液과 洗滌液을 evaporator로 50℃정도의 溫度에서 濃縮하였다.

2.3 有機溶媒抽出

加水分解 濃縮物을 圖1과 같이 有機溶媒로 抽出分別하였다. 즉, 95% ethanol로 前抽出하면 木粉을 加水分解하여 그 分解液의 濃縮物을 n-hexane으로 抽出하여 그 可溶部를 fraction A라 하였고, 不可溶部를 fraction B로 하였으며, 이어서 不可溶部를 ethyl acetate로 抽出하여 fraction C라 하였다. 이어 不可溶部를 chloroform으로 抽出하여 fraction D라 하였고 나머지는 acetone으로 抽出하여 fraction E라 하였으며 最後 나머지는 殘査로 하였다. 이 有機溶媒 抽出分別方法은 前에 發表한 水素化分解別法<sup>10)</sup>을 다소 變化시킨 方法이다.

2.4 리그닌의 組分別

리그닌의 組分別을 위하여 silica gel column chromatography를 實施하였는데 fraction B(diethyl ether 抽出物)을 選擇하여 silica gel column(5×7cm)과 溶媒 n-hexane-acetone(2:1~3:1)으로 傾斜展開시켜서 fraction B<sub>1</sub>~B<sub>7</sub>까지 組分別하였는데 이들을 thin layer chromatography(TLC)로 溶媒(toluene-formic acid-ethylformate 5:1:4)로 展開하였으며, 50%-H<sub>2</sub>SO<sub>4</sub> 溶液을 噴霧하여 105℃내외의 drying oven에 넣어 발색시켜서 lignin의 棕色反應과 發色된 化合物의 Rf 値別로 區分하여 組分別하였다. 이하 fraction C나 A도 silica gel c-

olumn으로 各各 組分別하였다.

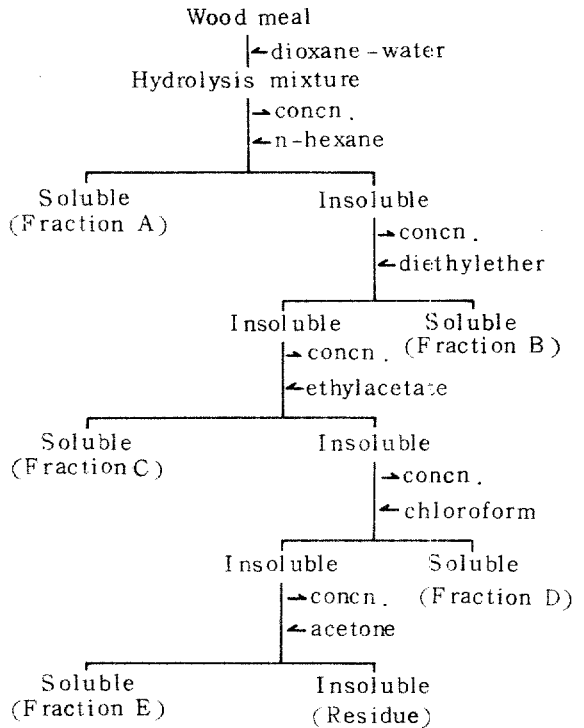


Fig. 1 Fractionation of Hydrolysis mixture.

2.5 Lignin 化合物의 單離

2.5.1 Dihydroconiferylalcohol의 單離(V)

Fraction A(85.45g)을 組分別하여 A<sub>2</sub>(7.54g)을 silica gel column(3×65cm)를 使用하여 展開溶媒 n-hexane-ethylacetate(5:1)로 50 ml 정도씩 分取했을 때 淡黃色의 粗結晶의 一部가 析出하였다. 이것은 TLC 위에서 Rf 値 0.41 50% 黃酸噴霧 후 105℃로 加熱했을 때 赤茶色을 나타내었다. 이 粗結晶을 모아서 benzene으로 3회 再結晶시켜서 chromatography 的인 單一한 無色結晶을 얻었다.

收率은 14.84g이었다.

2.5.2 Guaiacylpropane-2,3-diol의 單離(VI)

Fraction C(42.25g)을 Sephadex LH-20column(5×146cm)을 使用하여 展開溶媒 dioxane-水(1:1)로 4회 gel 여과하여 fraction C<sub>1</sub>~C<sub>5</sub>까지 分別하였다. 이 중 fraction C<sub>4</sub>(9.54g)을 silica gel column(4×50cm)을 使用하여 展開溶媒 n-hexane-acetate(2:1)로 分別해서 TLC로 조사할 때 Rf 値 0.24, 50% 黃酸噴霧 후 105℃로 加熱하면 blue-

gray色이 나타나는데 이 物質을 單離하기 위하여 다시 silica gel column (3×40cm)로 benzene-acetone-methanol (20:3:1)로 分別하였고 다시 chloroform-methanol (30:1), n-hexane-ethylacetate (3:1)로 分別하여 單一한 油狀物質 38 mg을 얻었다.

2.5.3 1,2-Bis-(4-hydroxy-3-methoxy phenyl)-ethylene의 單離 (VIII)

Fraction B<sub>3</sub> 2.5 g을 silica gel column (2×17cm)로 n-hexane-ethylacetate (5:1)로 分別하여 방치할 때 黃色의 結晶이 생기었고 이것을 95%-ethanol로 再結晶시켜서 無色針狀晶을 얻었다.

融點은 225~226°C이며 收量은 75 mg이었다. 이 물질은 室溫에서 방치하면 褐變하므로 常法에 의하여 acetyl 化하였다. (pyridine:acetic anhydride 1:1), 이를 石油 ether-chloroform 混液으로 再結晶하여 無色針狀晶 55 mg을 얻었다.

2.5.4 1,2-Bis-(4-hydroxy-3-methoxy phenyl)-propane-1,3-diol의 單離 (X)

Fraction B<sub>4</sub> (2 g)를 2×15cm의 silica gel column을 使用하여 benzene-acetone (1:2)로 分別하였고 同溶媒에 대한 Rf 値가 0.46으로 나타나는 부분을 單離하기 위하여 다시 silica gel column (1×10cm)로 n-hexane-ethylacetate (2:1)로 통과하였다. 이때 약간의 색을 갖는 結晶이 보이므로 이를 다시 methanol-benzene으로 再結晶하였으며 80 mg을 單離하였다.

融點은 130~132°C였으며 無色無晶型이었다.

2.6 化合物의 收集

本實驗에서 單離한 리그닌의 IR spectra를 비교說明하기 위하여 유사한 化合物을 수집하였는데, 本筆者<sup>11)</sup>가 水素化分解에서 單離한 것과 Aoyama<sup>12)</sup>가 加水分解에서 單離한 化合物로서, vanillin(I), vanillic acid(III), dehydrodivanillin(II), syringic acid(IV), dehydrosinapylalcohol(V), 1,2-Bis-(4-hydroxy-3-methoxyphenyl)-ethane(VI), 1,2-Bis-(4-hydroxy-3,5-dimethoxyphenyl)-propane-1,3-diol(VII), 1-(4-hydroxy-3-methoxyphenyl)-2-(4-hydroxy-3,5-dimethoxyphenyl)-propane-1,3-diol(XII)등이다.

2.7 Lignin化合物의 IR스펙트럼 測定

本實驗에서 單離한 lignin과 收集한 lignin化合物

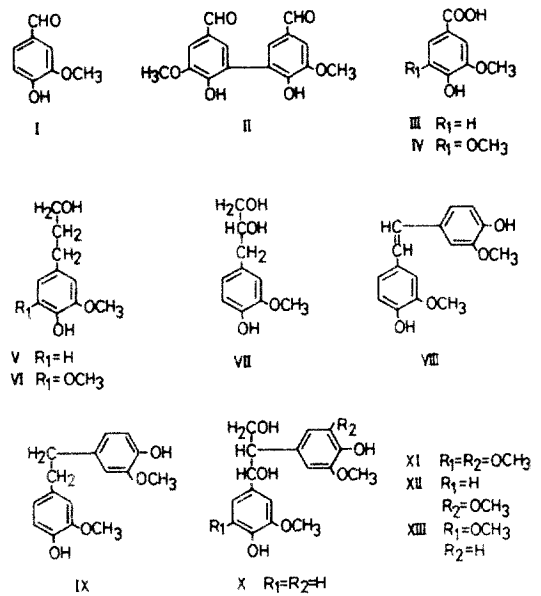


Fig. 2 Chemical structures of compound I ~ XII

의 IR測定은 KBr 鑲充法<sup>8,9)</sup>으로 pellet를 만들었다. 즉, 試料의 透明度를 고려하면서 0.5~0.7mg의 試料과 150mg의 KBr을 混合磨碎하여 vacuum pump로 吸引하면서 700kg/cm<sup>2</sup>의 壓力下에서 15分間 壓縮하여 KBr pellet를 만들어 使用하였다. 測定器機는 JASCO, A 302, Infrared Spectrometer였으며, 條件은 gain 2, scan speed 5, expansion V<sub>1</sub> 그외는 autoscale로 測定하였다.

3. 結果 및 考察

3.1 Carbonyl基를 갖는 化合物의 吸收 스펙트럼

側鎖에 carbonyl基(aldehyde)를 갖는 化合物로서 vanillin과 dehydrodivanillin의 吸收 스펙트리를 비교하였는데, 圖 2.3에서 보는 것같이 vanillin의 경우는 3,100cm<sup>-1</sup>에 水酸基의 伸縮振動(stretching)의 吸收가 보이며, 2,850cm<sup>-1</sup>에 methylene基, 1,665cm<sup>-1</sup>에 共役 carbonyl伸縮振動의 吸收가 나타나며 1,550, 1,510, 1,430cm<sup>-1</sup>에 芳香核의 骨格振動(skeletal vibration)의 吸收가, 1,270cm<sup>-1</sup>에 guaiacyl의 CO伸縮振動이 1,030cm<sup>-1</sup>에 芳香核의 C-H面 內變角振動(in-plane deformation)과 guaiacyl-type의 吸收가 나타나고 있다.

dehydrodivanillin의 경우에는  $3,300\text{ cm}^{-1}$ 에 水酸基,  $2,800\text{ cm}^{-1}$ 에 methylene基,  $1,665\text{ cm}^{-1}$ 에 carbonyl基의 伸縮振動의 吸收가 나타나며,  $1,580, 1,500,$

$1,425\text{ cm}^{-1}$ 에 芳香核의 吸收가,  $1,260\text{ cm}^{-1}$ 에 guaiacyl-type의 伸縮振動의 吸收,  $1,040\text{ cm}^{-1}$ 에 guaiacyl-type의 C-H面內變角振動吸收가 나타나고 있다.

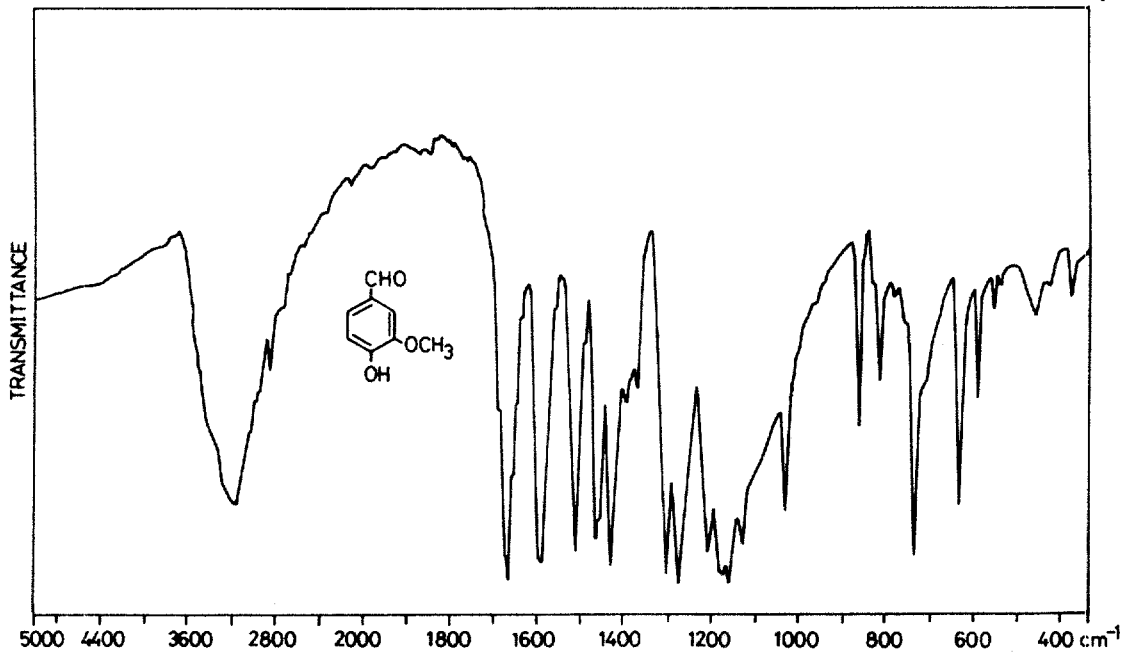


Fig. 3. IR spectrum of vanillin(I).

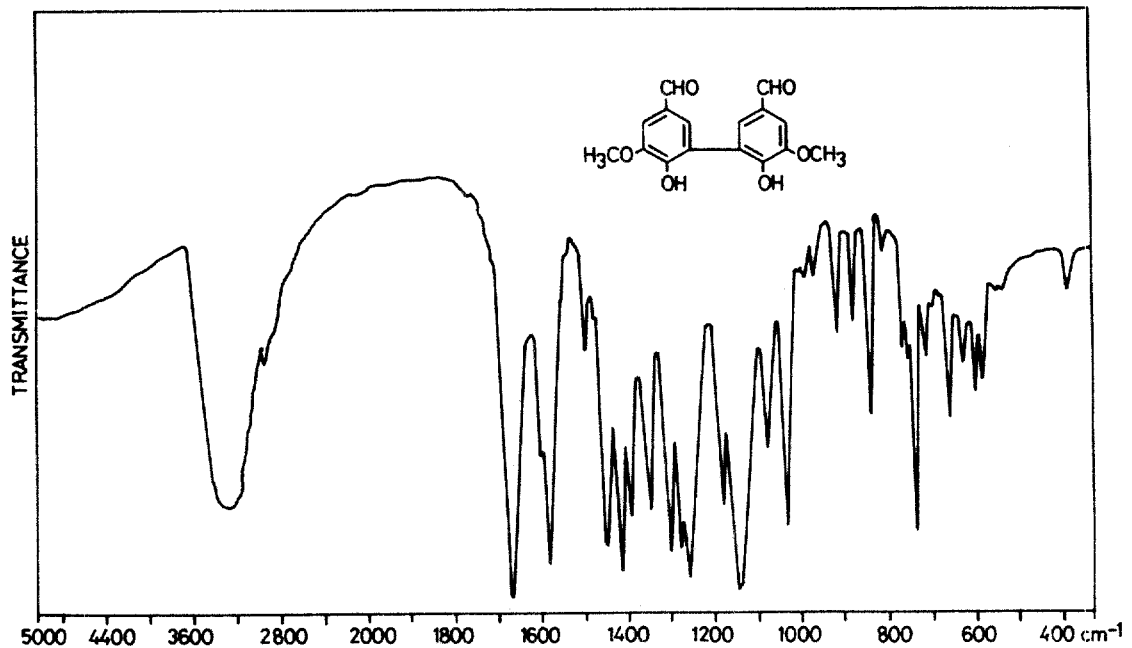


Fig. 4. IR spectrum of dehydrodivanillin(II).

이상의 吸收帶를 간단히 요약하면 Table I과 같이 functional group 別로, 즉, 水酸基, methoxy基, carbonyl基 別로 나타낼 수 있으며, 특히 側鎖의 ca-rbonyl의 吸收가 化合物 I, II 모두 공히  $1.665\text{ cm}^{-1}$

의 伸縮振動을 나타내고 있는 것과 methoxy基도 vanillin이  $1.270\text{ cm}^{-1}$ , dehydrodivanillin이  $1.260\text{ cm}^{-1}$ 에 나타나는 바와 같이 유사한 吸收를 갖는 것을 알 수 있다.

Table I. IR absorption bands of functional groups in compound I-VII

Compound	Hydroxyl	Methoxyl	Carbonyl	Carbonyl	Aliphatic alcohol
Vanillin (I)	3,150	1,270	1,665	—	—
Dehydrodivanillin(II)	3,050, 3,300	1,260	1,665	—	—
Vanillic acid (III)	3,470	1,290	—	1,675	—
Syringic acid (IV)	3,350	1,250	—	1,690	—
Dihydroconiferyl-alcohol (V)	3,420	1,260	—	—	1,030
Dihydrosinapyl-alcohol (VI)	3,350	1,245	—	—	1,015
Guaiacylpropane-2,3-diol (VII)	3,350	1,220	—	—	1,020

### 3.2 Carboxyl을 갖는 化合物의 吸收 스펙트럼

側鎖에 carboxyl基를 갖는 化合物로서 vanillic acid와 syringic acid를 비교하였다.

vanillic acid의 경우  $3.470\text{ cm}^{-1}$ 에 水酸基의 伸縮振動,  $2.940\text{ cm}^{-1}$ 에 methylen基,  $1.675\text{ cm}^{-1}$ 에 carboxyl基의 吸收帶가 나타나며,  $1.585, 1.500, 1.430\text{ cm}^{-1}$ 에 芳香核의 骨格振動,  $1.290\text{ cm}^{-1}$ 에 guaiacyl環의 吸收帶가 보인다.

$1.030\text{ cm}^{-1}$ 에 芳香核의 C-H面內變角振動 및 guaiacyl-type의 吸收,  $880, 760\text{ cm}^{-1}$ 에 芳香核의 C-H面外變角振動의 吸收가 보인다.

syringic acid의 경우는  $3.350\text{ cm}^{-1}$ 에 水酸基의 伸縮振動,  $2.940\text{ cm}^{-1}$ 에 methylen基,  $1.690\text{ cm}^{-1}$ 에 carboxyl基의 吸收帶가 보이며,  $1.610, 1.520, 1.420\text{ cm}^{-1}$ 에 芳香核의 骨格振動,  $1.460, 1.365\text{ cm}^{-1}$ 에는 芳香核 C-H의 變角振動의 吸收帶가 보이며,  $1.110\text{ cm}^{-1}$

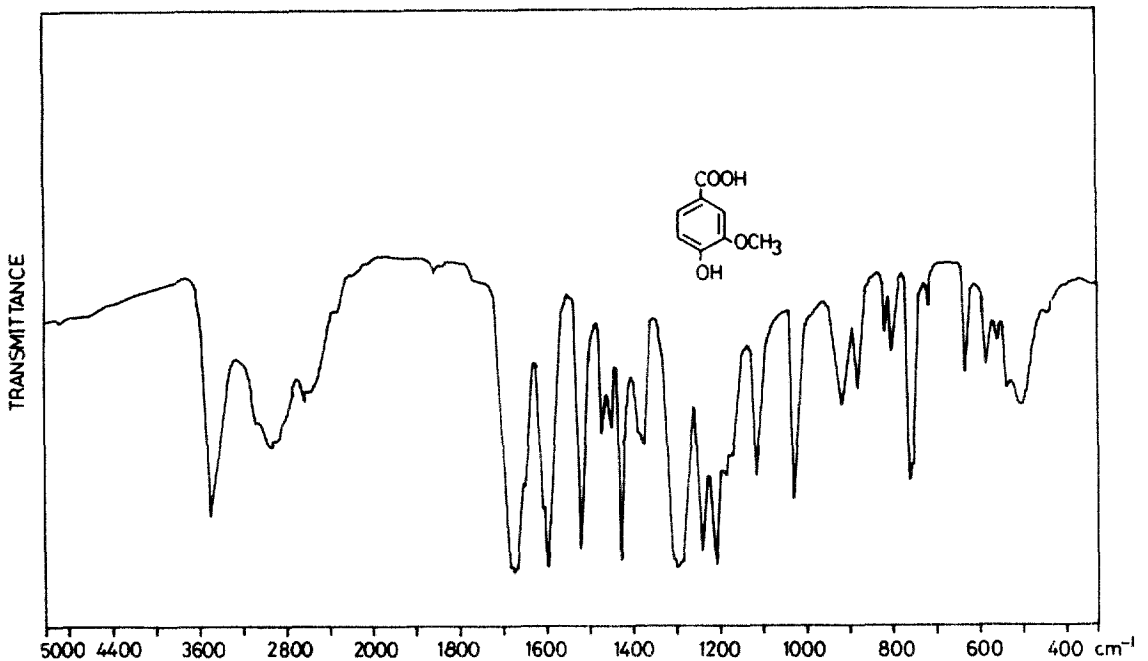


Fig.5. IR spectrum of vanillic acid(III).

의 syringyl-type의 吸收가 보인다.

側鎖  $\alpha$  位에 carboxyl 基를 갖는 化合物의 functional 基를 Table 1에 나타난 것과 같이 carboxyl 基는  $1,675, 1,690\text{ cm}^{-1}$ 에서 各各의 吸收를 보이고 있

으며 syringyl-type이 guaiacyl-type보다 약간 낮은 파장으로 吸收되고 있는 것을 알 수 있는데, 이는 芳香環 5位에 methoxyl 基가 한개 더 導入된 것에 基因한다고 생각된다.

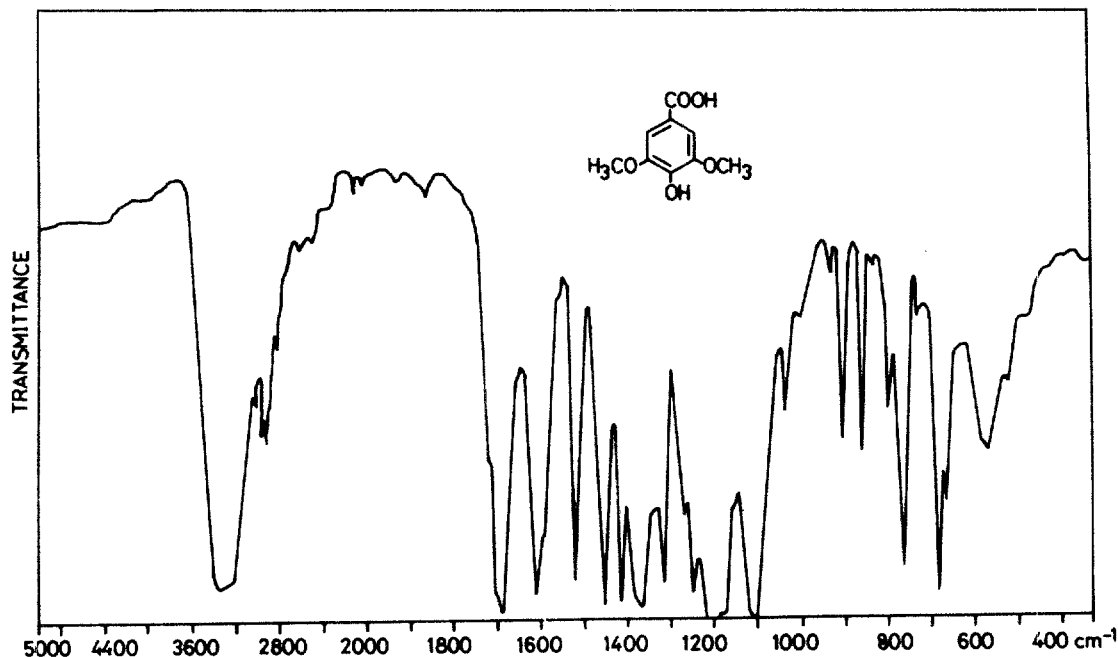


Fig.6. IR spectrum of syringic acid(V).

### 3.3 Aliphatic alcohol 基를 갖는 化合物의 吸收 스펙트럼

側鎖에 alcohol 基를 갖는 單量體 lignin 化合物로서 dihydroconiferylalcohol, dihydrosinapylalcohol, guaiacylpropane-2,3-diol 을 비교 고찰하고자 한다.

우선 dihydroconiferylalcohol 의 경우  $3,420\text{ cm}^{-1}$ 에 水酸基 伸縮振動,  $2,950\text{ cm}^{-1}$ 에 methylene 基,  $1,600, 1,520, 1,430\text{ cm}^{-1}$ 에 芳香核의 骨格振動,  $1,450, 1,460\text{ cm}^{-1}$ 은 C-H 芳香核의 變角振動의 吸收가 나타나며,  $1,270, 1,260\text{ cm}^{-1}$ 에 guaiacyl 環의 CO 伸縮振動,  $1,130\text{ cm}^{-1}$ 에 guaiacyl 核의 C-H 變角振動,  $760, 815\text{ cm}^{-1}$ 에서는 芳香核의 C-H 面外變角振動의 吸收帶를 나타낸다.

dihydrosinapylalcohol 에서는  $3,470\text{ cm}^{-1}$ 의 水酸基,  $2,925 \sim 2,950\text{ cm}^{-1}$ 의 methylene 基,  $1,615, 1,520, 1,430\text{ cm}^{-1}$ 에서 芳香核의 骨格振動,  $1,465\text{ cm}^{-1}$ 에는 芳香核의 C-H 變角振動,  $1,320, 1,340\text{ cm}^{-1}$ 에서 syringyl 環의 CO 伸縮振動을 나타낸다. 또한  $1,120$

$\text{cm}^{-1}$ 에서 syringyl-type의 C-H 面內變角振動의 吸收를,  $1,025\text{ cm}^{-1}$ 에서는 側鎖-價 alcohol 의 吸收를 나타내며,  $855, 830\text{ cm}^{-1}$ 에는 芳香核의 面外變角振動의 吸收를 나타내고 있다.

guaiacylpropane-2,3-diol 을 水酸基의 伸縮振動의 吸收가  $3,350\text{ cm}^{-1}$ 에 存在하고, benzene 核의 ethylene 의 骨格振動에 基因하는 吸收가  $1,615, 1,120, 1,430\text{ cm}^{-1}$ 에 나타나며,  $1,460\text{ cm}^{-1}$ 에서는 C-H 變角振動,  $1,270\text{ cm}^{-1}$ 에서는 guaiacyl 環의 CO 伸縮振動,  $1,035\text{ cm}^{-1}$ 에 benzene 環의 C-H 面內變角振動 (guaiacyl-type의 吸收를,  $815\text{ cm}^{-1}$ 에서는 benzene 核의 C-H 面外變角振動의 吸收를 나타내고 있다.

Table 1에서 보는 것 같이 化合物 V-VII의 aliphatic alcohol 中 一價 alcohol 은  $1,030, 1,015\text{ cm}^{-1}$ 에, 二價 alcohol 은  $1,020\text{ cm}^{-1}$ 의 吸收를 나타내고 있는데 化合物 VII는 油狀物이므로 IR 스펙트럼이 sharp 하지 않아서 비교하기에 다소 정확하지 않은 것 같다.

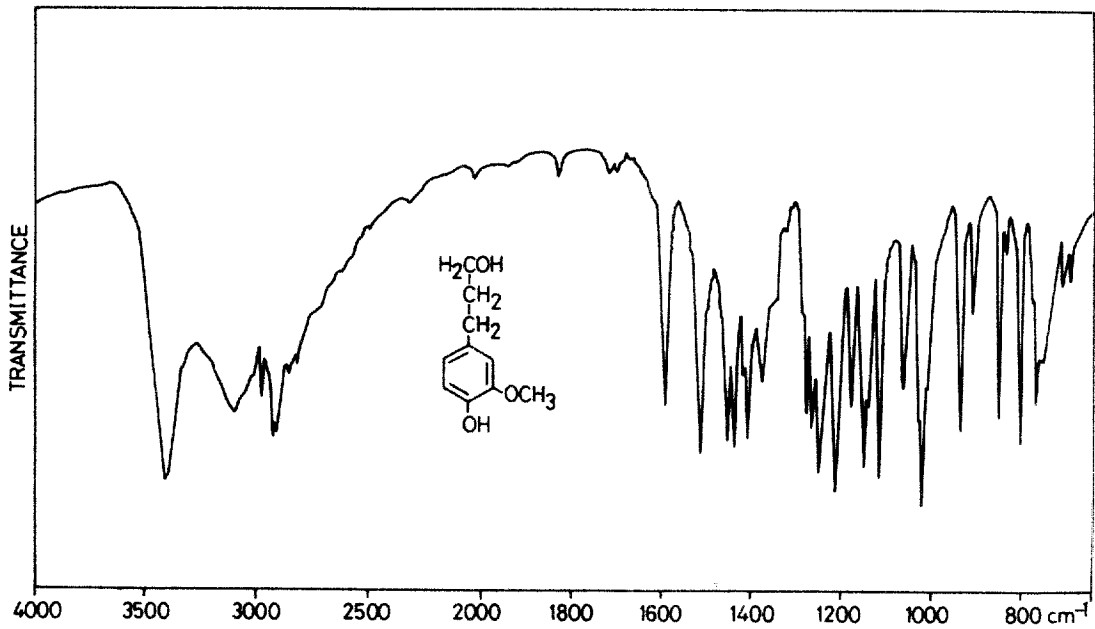


Fig.7. IR spectrum of dihydroconiferylalcohol (IV).

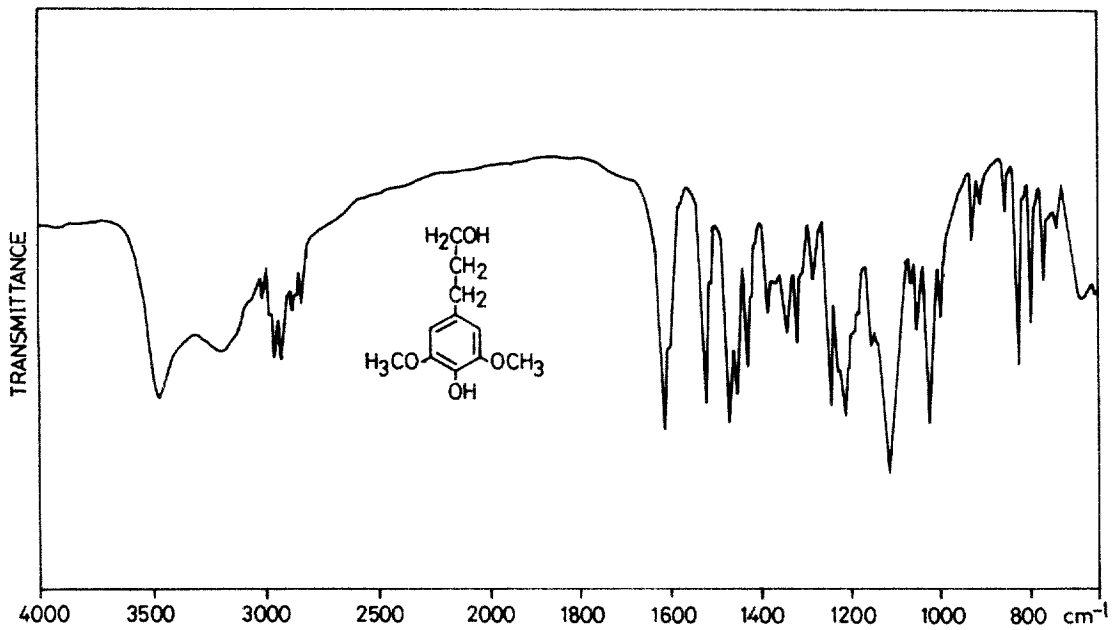


Fig.8. IR spectrum of dihydrosinapylalcohol (VI).

또한 이化合物 V - VI에서의 水酸基는 3.420, 3.350, 3.350  $cm^{-1}$ 의 유사한 吸收를 나타내고 있으며, 化合物 V - VII의 guaiacyl의 CO 伸縮振動은 각각

1.270, 1.260  $cm^{-1}$ 와 1.270  $cm^{-1}$ 에 나타나며 syringyl의 CO 伸縮振動은 1.320, 1.340  $cm^{-1}$ 의 吸收를 보이고 있다.

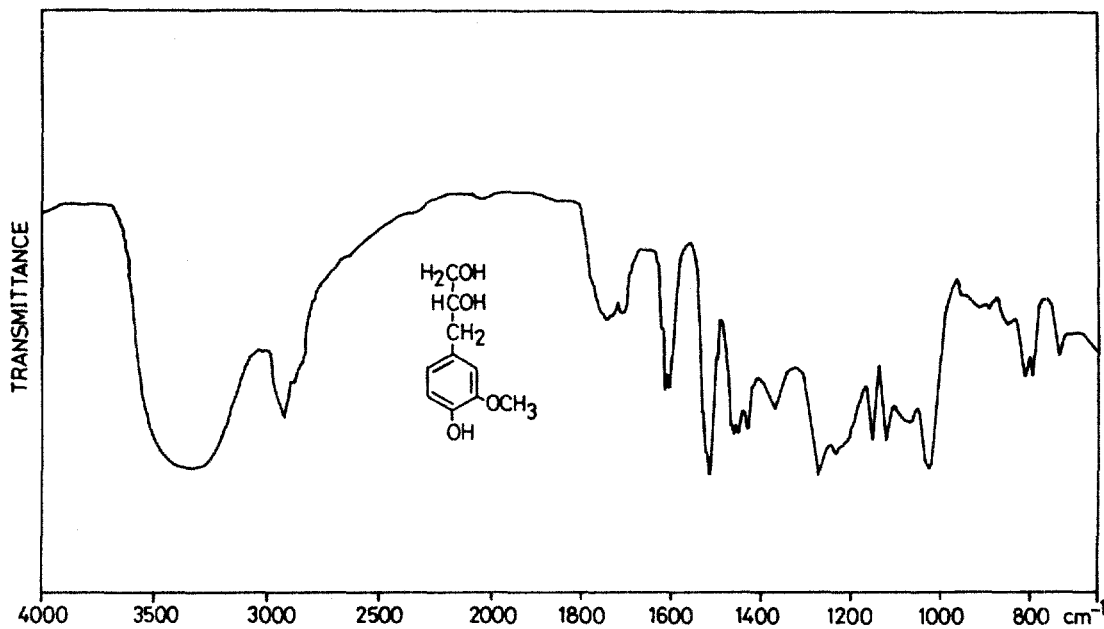


Fig.9. IR spectrum of guaiacylpropane-2,3-diol (VII).

3.4 Stilbene-type의 化合物의 吸收 스펙트럼

Stilbene 化合物의 IR spectra를 비교 고찰하기 위하여 본 實驗에서 單離한 1,2-Bis-(4-hydroxy

-3-methoxyphenyl)-ethylene (VIII)과 水素化分解에서 單離한 1,2-Bis-(4-hydroxy-3-methoxyphenyl)-ethane (IX)의 吸收 spectra를 測定하였다.

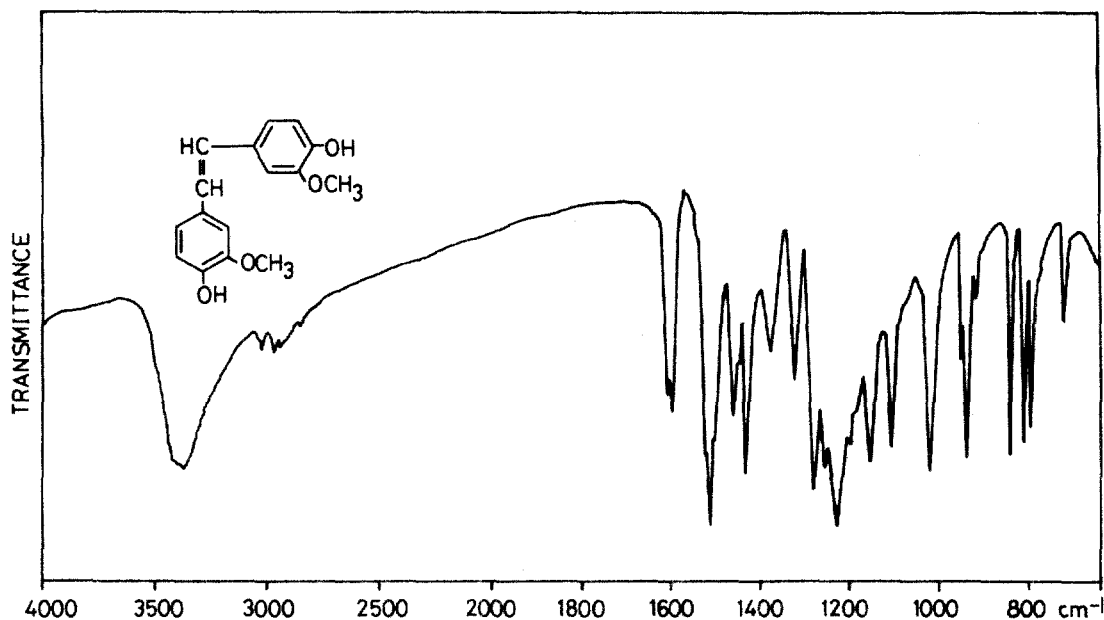


Fig.10. IR spectrum of 1,2-bis-(4-hydroxy-3-methoxyphenyl)-ethylene (VIII).



化合物 VIII에서  $3,390\text{ cm}^{-1}$ 의 수산기의伸縮振動,  $2930\text{ cm}^{-1}$ 의 methylene의吸收,  $1,600, 1,515, 1,430\text{ cm}^{-1}$ 는 benzene環의骨格振動的吸收가 보이며,  $1,465\text{ cm}^{-1}$ 에서는 C-H의變角振動을,  $1,280\text{ cm}^{-1}$ 에서는 guaiacyl環의 CO伸縮振動的吸收를,  $1,030\text{ cm}^{-1}$ 에서는 C-H變角振動을,  $855, 815\text{ cm}^{-1}$ 에서는芳香核의 C-H面外變角振動的吸收帶를 갖는다.

化合物 IX의 경우는  $3,400\text{ cm}^{-1}$ 의 수산기의伸縮振動을,  $2,940\text{ cm}^{-1}$ 에는 methylene基를,  $1,600, 1,515, 1,425\text{ cm}^{-1}$ 에서는 benzene環의骨格振動的吸收가,

$1,460\text{ cm}^{-1}$ 는 C-H의變角振動을,  $1,270\text{ cm}^{-1}$ 에서는 guaiacyl環의 CO伸縮振動的吸收를,  $1,030\text{ cm}^{-1}$ 는 guaiacyl의 C-H變角振動을,  $815\text{ cm}^{-1}$ 는芳香核의 C-H面外變角振動的吸收를 나타내고 있다.

단, 化合物 VIII은 結晶이었고 IX는 syrup相이 있으므로 化合物 IX의 spectra吸收帶는 broad한 편이었고 化合物 VIII의吸收 spectra는 sharp한 편이었으며, 그의特徵의인吸收帶가 거의 유사하게 나타나는 것을 알 수 있었다.

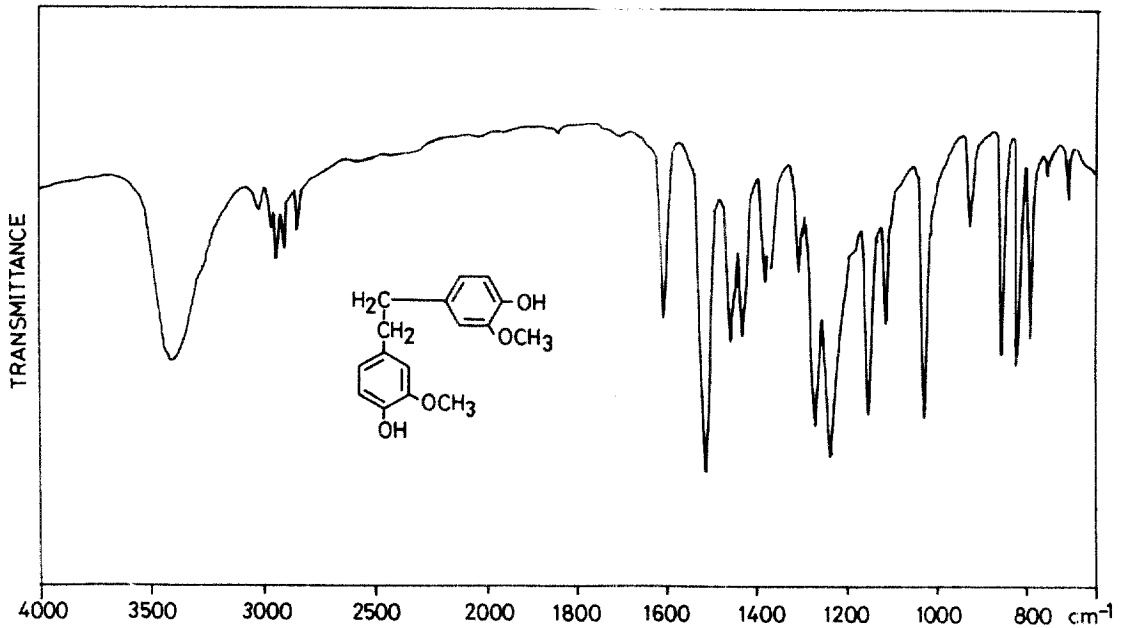


Fig. 11. IR spectrum of 1-2-bis-(4-hydroxy-3-methoxyphenyl)-ethane (X).

### 3.5 Diarylpropane 化合物의 吸收 스펙트럼

化合物 X은 本實驗에서 單離한 것이며, 化合物 XI, XII는 스펙트럼을 비교 고찰하기 위하여 Aoyama<sup>12)</sup>의 data를 活用한 것이다.

化合物 X에서는  $3,450\text{ cm}^{-1}$ 가 수산기의伸縮振動을,  $2,940\text{ cm}^{-1}$ 는 methylene의吸收를,  $1,620, 1,520, 1,435\text{ cm}^{-1}$ 는 benzene環의骨格振動,  $1,470\text{ cm}^{-1}$ 는 C-H의 benzene環의變角振動을,  $1,280\text{ cm}^{-1}$ 는 guaiacyl環의 CO伸縮振動을,  $1,030\text{ cm}^{-1}$ 는 guaiacyl의 C-H變角振動을,  $815, 855\text{ cm}^{-1}$ 는芳香核의 C-H面外變角振動的吸收帶를 갖는다.

역시 化合物 XI도 유사한吸收帶를 나타내고 있다.

즉,  $3,480\text{ cm}^{-1}$ 가 수산기의伸縮振動을,  $2,940\text{ cm}^{-1}$ 는 methylene의吸收를,  $1,610, 1,520, 1,430\text{ cm}^{-1}$ 는 benzene環骨格振動을,  $1,470\text{ cm}^{-1}$ 는 C-H의 benzene環의變角振動을,  $1,330\text{ cm}^{-1}$ 는 syringyl의 CO伸縮振動을,  $1,120\text{ cm}^{-1}$ 는 syringyl의 C-H面内變角振動을,  $960, 835, 815\text{ cm}^{-1}$ 는 benzene環의 C-H面外變角振動的吸收를 나타내고 있다.

마지막으로 化合物 XII도 化合物 XI, X와 매우 유사하다.

$3,450\text{ cm}^{-1}$ 의 수산기伸縮振動,  $2,900\text{ cm}^{-1}$ 는 methylene의吸收를,  $1,620, 1,520, 1,435\text{ cm}^{-1}$ 는 benzene環의骨格振動을,  $1,470\text{ cm}^{-1}$ 는 benzene環의 C

-H 변角振動을,  $1,275\text{ cm}^{-1}$ 는 guaiacyl의 CO 伸縮振動을,  $1,130\text{ cm}^{-1}$ 는 syringyl-type의 benzene環의 C-H 面内變角振動을,  $1,030\text{ cm}^{-1}$ 은 guaiacyl-type의

benzene環의 C-H 面内變角振動을,  $760, 815\text{ cm}^{-1}$ 는 benzene環의 C-H 面外變角振動을 나타내고 있다. 특히 이 化合物 XII는 syringyl-guaiacyl copolymer로

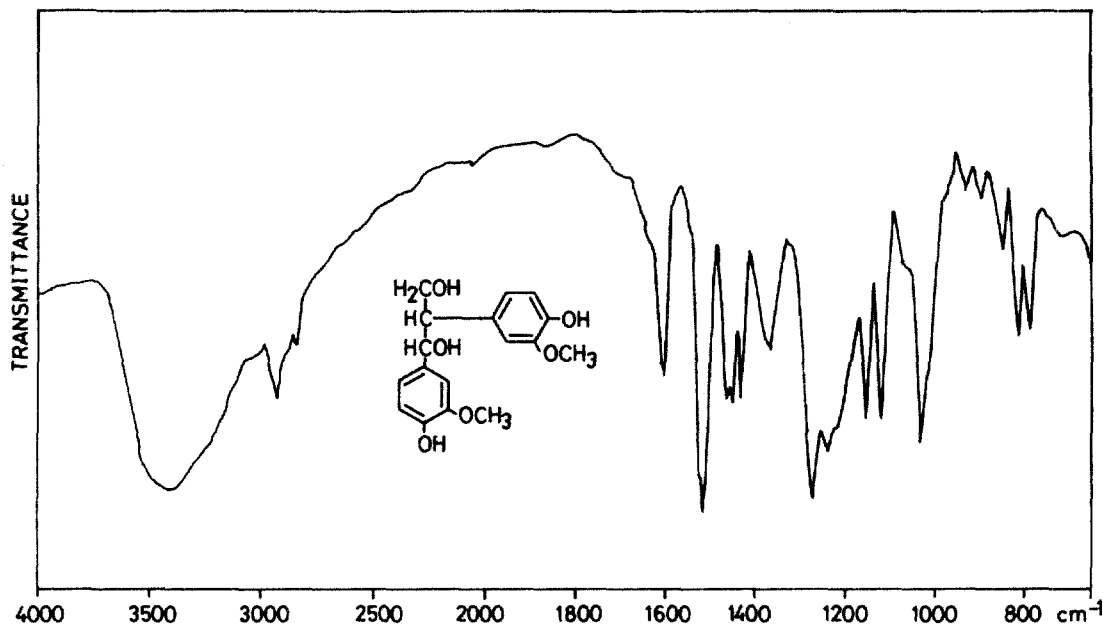


Fig. 12. IR spectrum of 1,2-bis-(4-hydroxy-3-methoxyphenyl)-propane-1,3-diol (X).

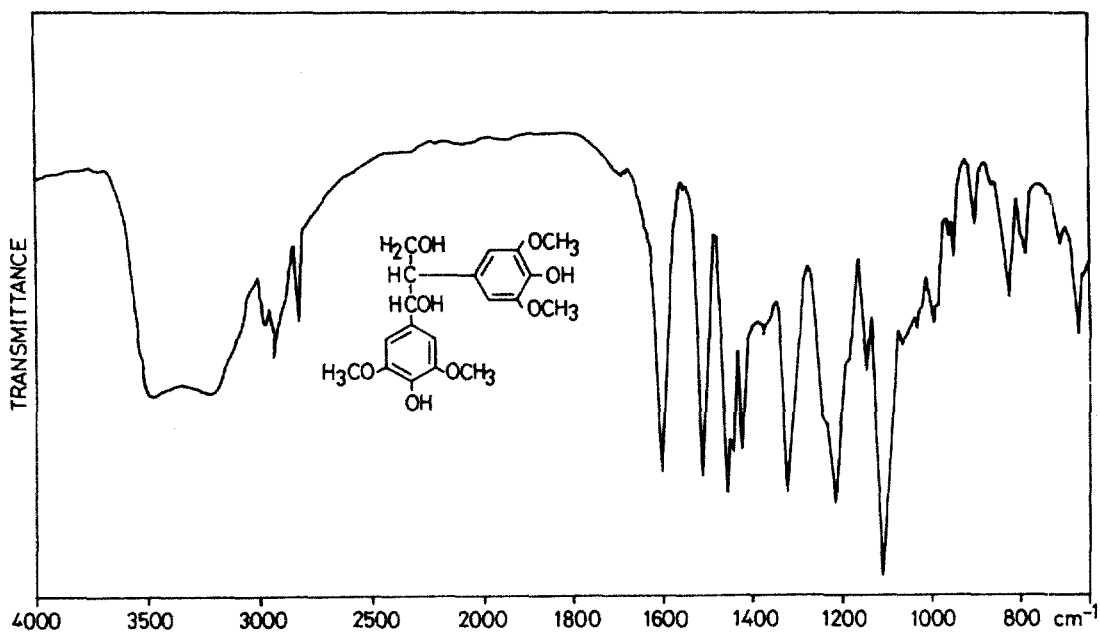


Fig. 13. IR spectrum of 1,2-bis-(4-hydroxy-3,5-dimethoxyphenyl)-propane-1,3-diol (XI).

서 syringyl 과 guaiacyl 의 특징적인 吸收 스펙트라를 함께 갖고 있는 것을 관찰할 수 있었다.

化合物 XIII 은 1966 년 Nimz<sup>13)</sup> 가 발견한 것이나, Mass, NMR, UV data 는 있어도 IR 데이타가 없으므로 비교할 수가 없었다. 따라서 側鎖 α 位가 水素로 置換된 syringyl - guaiacyl 化合物을 水素化分解에서

필자<sup>14)</sup>가 單離하였는데 이 data 를 Table 2 에 실어서 비교하였다.

이상에서 고찰한 것은 Table 2 에서 보는 것 같이 diarylpropane 型 化合物의 吸收帶를 비교한 결과, diaryl - type 에서도 매우 유사한 吸收帶를 갖는 것을 알 수 있다.

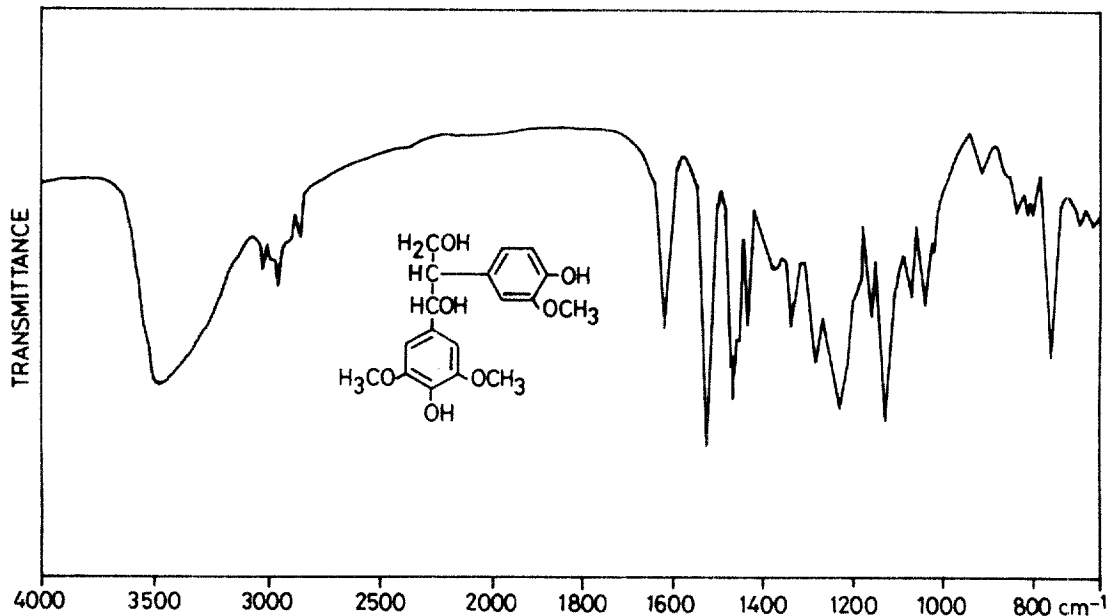


Fig. 14. IR spectrum of 1-(4-hydroxy-3,5-dimethoxy phenyl)-2-(4-hydroxy-3-methoxy phenyl)-propane-1,3-diol (XIII).

Table 2. Assignment of IR absorption bands in diarylpropane compounds (X-XIII)

Compound	Aromatic ring		Guaiacyl - type		Syringyl - type		Aromatic CH out-of-plane deformation
	Skeletal vibration	CH deformation	CO stretching	CH in-plane deformation	CO stretching	CH in-plane deformation	
X (G-G)	1,620, 1,520, 1,435	1,460	1,280	1,030	-	-	855, 815
XI (S-S)	1,610, 1,520, 1,430	1,470	-	-	1,330	1,130	835, 880
XII (S-G)	1,620, 1,520, 1,435	1,470	1,275	1,030	1,330	1,130	815, 750
* XIII (G-S)	1,615, 1,520, 1,430	1,470	1,280	1,035	1,335	1,125	830, 805

\* 1-(4-hydroxy-3-methoxy phenyl)-2-(4-hydroxy-3,5-dimethoxyphenyl)-propane-3-ol

#### 4. 要 約

本 實驗은 韓國産 잣나무에서 單離한 lignin 化合物과 이미 單離된 유사한 構造를 갖는 化合物을 비교 고찰하여 lignin 化學構造를 위한 官能基 및 芳香環의

IR 스펙트럼의 歸屬을 밝히고자 實施한 結果는 다음과 같다.

1) 側鎖 α 位에 carbonyl 基을 갖는 化合物 vanillin과 dehydrodivanillin의 경우 1,665 cm<sup>-1</sup>의 carbonyl 基의 특징적인 吸收가 共히 함께 나타나는 것

을 알 수 있었으며,

2) 側鎖에 carboxyl 을 갖는 化合物 vanillic acid 와 syringic acid 의 경우,  $1,675\sim 1,690\text{ cm}^{-1}$  의 carboxyl 基에 由來하는 吸收帶 범위에 나타나는 것을 확인하였으며,

3) 側鎖에 alcohol 基를 갖는 化合物 V, VI, VII 의 경우,  $3,420, 3,470, 3,350\text{ cm}^{-1}$  에 각각의 水酸基의 伸縮振動의 吸收가 보이며, 化合物 V, VI 의 1價 alcohol 에 관한 吸收는  $1,030\text{ cm}^{-1}$  와  $1,025\text{ cm}^{-1}$  의 强한 吸收가 보이며, 2價 alcohol 인 化合物 VII 의 경우는  $1,020\text{ cm}^{-1}$  에 吸收가 보이는데 이는 alcohol 類의 吸收帶와 잘 일치하는 것을 확인하였다.

4) Stilben 化合物 VIII, IX 의 경우는 매우 유사하며 guaiacyl 環의 CO 伸縮振動이  $1,280, 1,270\text{ cm}^{-1}$  로 測定되었다.

5) Diaryl propane 化合物 X, XI, XII 은 거의 유사하나 guaiacyl 環을 갖는 化合物 X 은  $1,030\text{ cm}^{-1}$  에서 CO 伸縮振動을, syringyl 環을 갖는 化合物 XI 은  $1,330\text{ cm}^{-1}$  에서 CO 伸縮振動을, guaiacyl-syringyl 共重合體(copolymer)을 갖는 化合物 XII 는  $1,275\text{ cm}^{-1}$  와  $1,330\text{ cm}^{-1}$  에서 각각 特征적인 吸收를 나타내는 것을 재 확인하였다.

이와같이 IR 스펙트럼으로 化合物의 官能基의 吸收나 芳香族環의 吸收를 測定 비교한 結果, 基在 有機化學分野나 木材化學分野의 data 와 잘 一致하는 것을 재 확인하였다.

앞으로 더욱 이 樹種에서 새로운 lignin 化合物를 單離同定하여 lignin 에 관한 各種 data 를 밝히므로서 잣나무 心材成分解明과 리그닌化學構造 研究에 대한 基礎的 資料를 提供하게 되므로 이는 學問뿐만 아니라 應用研究面에도 널리 活用될 수 있을 것으로 思料된다.

## 謝 辭

本 研究를 遂行함에 있어 木材 加水分解 lignin 化合物의 IR spectra 를 活用할 수 있도록 協助하여준 日本 北海道林産試驗場 林産化學科의 青山政和 博士님께 深甚한 感謝를 드린다.

## 引 用 文 獻

1. Nelson, P. E., Smith, J. G. 1966, The Gas Chromatography and Infrared Spectroscopy of Trimethylsilyl Ethers of Some Phenols Related to Lignin and Ellagitannins, Tappi, 49(5), 215~226.
2. Hergert, H. L. 1960, Infrared Spectra of Lignin and Related Compounds II, J. Am. Chem. Soc., 82, 405~413.
3. Hatakeyama, H., Nakano, J., Hatano, A., Migita, N. 1969, Variation of Infrared Spectra with Temperature for Lignin and Lignin Model Compounds, Tappi, 52(9), 1724~1728.
4. Hergert, H. L. 1971, Infrared Spectra through Sarkanen, K. V., Ludwig, C. H., "Lignins" Wiley-Inter., 267~293.
5. Williams, D. H., Fleming, L. 1980, "Spectroscopic methods in organic chemistry" McGraw-Hill, 35~73.
6. 寺島典二, 1979, 赤外線吸收スペクトル, "リグニンの化學(中野準三編)" ユニ廣報, 176~181.
7. 堀口 博, 1977, 赤外吸光圖說總覽, 三共出版, 1~59.
8. 荒木峻, 益子洋一, 1976, 赤外分光法, "有機化合物のスペクトルによる同定法" 東京化學同人, 68~146.
9. 蔡快, 安正德, 洪壯厚, 李打華, 1981, "有機分光學", 東亞學習社, 64~127.
10. Hwang, B. H., Sakakibara, A. 1979, Hydrogenolysis of Protolignin XV, Mokuzai Gakkaishi, 25(10), 647~652.
11. 黃炳浩, 1981, 廣葉樹プロトリグニンの水素化分解に関する研究, 日本北海道大學博士論文, 1~258.
12. 青山政和, 1979, 廣葉樹リグニンの加水分解に関する研究, 日本北海道大學 博士論文, 1~157.
13. Nimz, H. 1966, Über die milde Hydrolyse des Buchenlignins, III, Isolierung von zwei Weiteren Abbauphenolen mit einer 1,2-Diaryl-Propan-Struktur, Chem. Ber, 99, 469~474. ■